

بررسی کارایی مدل‌های ریزمقیاس‌نمایی آماری LARS-WG و SDSM در شبیه‌سازی دما و بارش

علی سلاجقه^۱، الهام رفیعی ساردوئی^{۲*}، علیرضا مقدم نیا^۳، آرش ملکیان^۳، شهاب عراقی نژاد^۳، شهرام خلیقی سیگارودی^۳

امین صالح پور جم^۴

۱. استاد، دانشکده منابع طبیعی، پردیس کشاورزی و منابع طبیعی، دانشگاه تهران، کرج
۲. دانشجوی دکتری، دانشکده منابع طبیعی، پردیس کشاورزی و منابع طبیعی، دانشگاه تهران، کرج
۳. دانشیار، دانشکده منابع طبیعی، پردیس کشاورزی و منابع طبیعی، دانشگاه تهران، کرج
۴. دانشیار، گروه مهندسی آبیاری و آبادانی، پردیس کشاورزی و منابع طبیعی، دانشگاه تهران، کرج
۵. استادیار، پژوهشکده حفاظت خاک و آبخیزداری کشور، کرج

(تاریخ دریافت: ۱۳۹۵/۲/۴ - تاریخ بازنگری: ۱۳۹۵/۶/۲۱ - تاریخ تصویب: ۱۳۹۵/۷/۴)

چکیده

در این تحقیق، نتایج دو روش ریزمقیاس نمایی LARS-WG و SDSM با در نظر گرفتن معیارهای خطأ، ازلحاظ بارش روزانه، دماهای حداقل و حداکثر روزانه در دو ایستگاه سینوپتیک روانسر و کرمانشاه مقایسه می‌شود. در هر دو مدل دوره زمانی ۱۹۸۸-۱۹۶۱ و ۱۹۸۹-۲۰۰۱ به ترتیب برای انجام واسنجی و صحت سنجی در نظر گرفته شدند. نتایج کلی نشان داد که مدل SDSM در دو ایستگاه موردبررسی، در هر دو مرحله واسنجی و صحت سنجی، برای دماهای حداقل و حداكثر روزانه عملکرد بهتری نسبت به الگوی LARS-WG دارد در حالی که برای بارش روزانه، مدل LARS-WG دارای عملکرد بهتری می‌باشد. از نتایج ریزمقیاس نمایی، چنین نتیجه‌گیری می‌شود که در دو دهه ۲۰۰۰ و ۲۰۵۰ تحت سناریو A2 و با بهکارگیری مدل بزرگ‌مقیاس HadCM3، ایستگاه کرمانشاه و روانسر با میزان بارش کمتری مواجه می‌شوند. همچنین پیش‌بینی‌ها نشان می‌دهد که در هر دو مدل دمای حداقل و دمای حداکثر در دو دهه آتی تحت سناریو A2 در هر دو ایستگاه افزایش می‌یابد.

واژه‌های کلیدی:

تغییر اقلیم، بارش دمای حداقل، دمای حداکثر.

این پدیده قرار خواهد گرفت. بنابراین بررسی روند متغیرهای اتمسفری مانند دما از اهمیت ویژه‌ای برخوردار است. از این‌رو، پیش‌بینی‌های اقلیمی جهت استفاده در برنامه‌ریزی‌های کلان کشور خصوصاً در رابطه با بلایای طبیعی ضروری به نظر می‌رسند. معترضتین ابزار جهت بررسی اثرات پدیده تغییر اقلیم بر سیستم‌های مختلف استفاده از متغیرهای اقلیمی شبیه‌سازی شده توسط مدل‌های جفت شده جوی _اقیانوسی می‌باشد. این مدل‌ها قادرند پارامترهای جوی و اقیانوسی را برای یک دوره طولانی مدت با استفاده از سناریوهای تاییدشده مدل-سازی نمایند (IPCC, 2014)، اما ضعف عمدۀ این مدل‌ها قدرت تفکیک مکانی کم و ساده‌سازی‌هایی است که برای فرآیندهای اقلیمی در نظر می‌گیرند. برای فائق آمدن به ضعف قدرت تفکیک پایین لازم است خروجی این مدل‌ها قبل از استفاده در مطالعات ارزیابی اثرات تغییر اقلیم، ریزمقیاس شوند. بهطورکلی چهار روش ریزمقیاس نمایی شامل روش آماری، روش الگوهای آب و هوای روش احتمالی و روش دینامیکی را ارائه شده‌اند. از بین این روش‌ها، روش آماری به متغیرهای کمتری نسبت به سایر روش‌ها احتیاج داشته و به همین دلیل در کاربردهای علوم آب

مقدمه

افزایش گازهای گلخانه‌ای در چند دهه اخیر و افزایش دمای ناشی از آن باعث بر هم خوردن تعادل سیستم اقلیمی کره زمین گردیده و تغییرات اقلیمی گسترهای را در اغلب نواحی کره زمین موجب شده است. تغییر اقلیم و پیامدهای ناشی از آن خصوصاً گرم شدن کره زمین، به عنوان بزرگ‌ترین معضل قرن بیست و یکم مطرح است، به طوری که طی چند سال اخیر همواره یکی از محورهای اصلی سران کشورهای صنعتی جهان، مسئله تغییر اقلیم بوده است (Andersen *et al.*, 2006). بررسی‌ها نشان می‌دهد که این پدیده می‌تواند بر بخش‌های مختلف اعم از منابع آب، کشاورزی، محیط‌زیست، بهداشت، صنعت و اقتصاد اثرات منفی داشته باشد. اولین اثر تغییر اقلیم روی عناصر اتمسفری خصوصاً درجه حرارت و بارش می‌باشد. سپس با توجه به ارتباط بین عناصر اتمسفری و اکوسیستمهای زمینی، منابع آب، پوشش گیاهی، خاک و همچنین زندگی انسان تحت تأثیر

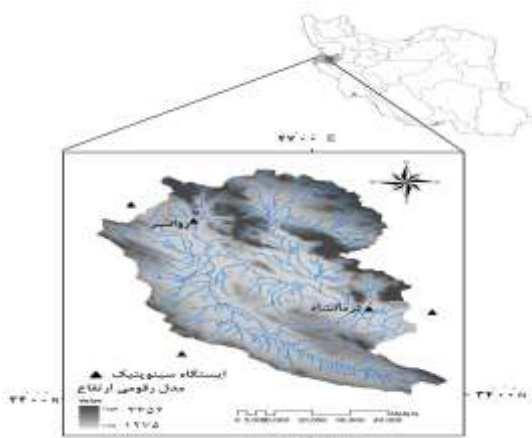
* نویسنده مسئول: ellrafiee@ut.ac.ir

al. (2015) عملکرد مدل‌های ریزمقیاس نمایی LARS-WG و SDSM در شبیه‌سازی تغییرات اقلیمی در حوضه آبریز دریاچه ارومیه (اقلیم سرد و نیمه‌خشک) بررسی کردند. نتایج حاصل نشان داد که هر دو مدل دقت بیشتری در شبیه‌سازی دما نسبت به بارش دارند و در شبیه‌سازی پارامترهای دما، مدل SDSM موفق‌تر عمل نموده و دارای عدم قطعیت کمتری است در حالی که مدل LARS-WG در شبیه‌سازی دوره‌ای بارش از کارآبی بهتری برخوردار است و دارای سادگی و سرعت عملکرد بیشتری نسبت به مدل SDSM است. درمجموع بر اساس نتایج حاصل هیچ‌کدام از مدل‌ها برتری مطلق بر یکدیگر ندارند و علی‌رغم تفاوت‌هایی در شبیه‌سازی، می‌توانند در بررسی‌های تغییرات اقلیمی مفید واقع شوند. از آنجا که در تمامی تحقیقات صورت گرفته جهت مقایسه دو مدل از ناحیه عدم قطعیت (فاصله اطمینان) استفاده شده و به بررسی معیارهای خطا پرداخته نشده است لذا در این تحقیق سعی بر این است که عملکرد دو مدل ریزمقیاس نمایی LARS-WG و SDSM با در نظر گرفتن معیارهای خطا RMSE (ریشه میانگین مربعات خطا) و R (ضریب رگرسیون)، در شبیه‌سازی متغیرهای بارش و دما در حوزه قره‌سو کرمانشاه که از لحاظ اقلیمی گرم و نیمه‌خشک می‌باشد، مورد بررسی و مقایسه قرار گیرد.

مواد و روش‌ها

ایستگاه‌های مورد مطالعه

ایستگاه کرمانشاه در طول جغرافیایی $47^{\circ} 09'$ ، عرض جغرافیایی $34^{\circ} 21'$ و ارتفاع $1318/6$ و ایستگاه روانسر در عرض جغرافیایی $34^{\circ} 43'$ ، طول جغرافیایی $46^{\circ} 39'$ و ارتفاع $1379/7$ قرار دارند. هر دو ایستگاه از ایستگاه‌های هواشناسی و سینوپتیک استان کرمانشاه می‌باشند. در شکل (۱) موقعیت جغرافیایی ایستگاه‌های سینوپتیک کرمانشاه و روانسر در استان کرمانشاه نشان داده شده است.



شکل ۱. نمایی از موقعیت ایستگاه‌های سینوپتیک کرمانشاه و روانسر

بسیار موردنظر قرار گرفته است. در این زمینه پژوهش‌های متعددی در سطح جهانی صورت گرفته است. در پژوهشی Aghashahi (2012) به معرفی و مقایسه دو مدل SDSM و LARS-WG پرداختند. نتایج نشان داده که مدل SDSM دارای عدم قطعیت کمتری نسبت به مدل دیگر می‌باشد. Chen et al. (2015) اثر تغییر اقلیم را روی روند رواناب با استفاده از مدل HEC-HMS و SDSM به عنوان یک مدل ریزمقیاس نمایی آماری، از کارآبی SDSM خوبی جهت پیش‌بینی متغیرهای اقلیمی برخوردار است. در پژوهشی Chen et al. (2012) از دو مدل SDSM و ماشین بردار پشتیبان برای ریزمقیاس نمودن بارندگی در حوزه رودخانه هانجیانگ استفاده نمود. نتایج عملکرد بهتر مدل SDSM مقایسه با ماشین بردار پشتیبان نشان داد که Hashmi et al. (2011) از مدل ریزمقیاس نمایی LARS-WG و SDSM برای ریزمقیاس نمایی بارش حدی استفاده کردند. نتایج حاصل از پژوهش نشان داد که هر دو مدل دارای عملکرد مشابه و خوبی در شبیه‌سازی بارش حدی می‌باشند و بنابراین می‌توانند برای Zulkarnain et al. (2014) از دو مدل SDSM و LARS-WG برای شبیه‌سازی و ریزمقیاس نمایی بارش و دما در مالزی (با اقلیم حاره‌ای) استفاده کردند. نتایج نشان داد که خروجی‌های SDSM دارای عملکرد بهتری در مقایسه با LARS-WG می‌باشند، به استثنای اینکه مدل SDSM طول دوره‌های تر و خشک را کمتر برآورد می‌کند. اگرچه هر دو مدل دارای نتایج یکسانی نمی‌باشند، سری‌های زمانی ایجادشده توسط هر دو مدل روند افزایشی در مقادیر دمای متوسط روزانه نشان می‌دهند. درحالی که روند بارش روزانه دو مدل مشابه یکدیگر نیست و مدل SDSM در مقایسه با LARS-WG تغییرات بیشتری را در بارش سالانه نشان می‌دهد. Zamani Nuri et al. (2014) به بررسی عدم قطعیت پارامترهای اقلیمی دما و بارش شبیه‌سازی شده توسط دو مدل ریزمقیاس نمایی LARS-WG و SDSM پرداختند و فاصله اطمینان خروجی‌های هر دو مدل را بررسی کردند. نتایج نشان داد که مدل LARS-WG در شبیه‌سازی بارش دارای عملکرد بهتری نسبت به مدل SDSM می‌باشد و در آینده SDSM نزدیک کاهش در بارش را نشان می‌دهد. همچنین مدل SDSM در شبیه‌سازی دما دارای عملکرد بهتری بوده و افزایش دما را نشان می‌دهد. Alizadeh and Zahraei (2014) عملکرد مدل رگرسیونی چند متغیره (SDSM) و مدل مولد آب و هوایی استوکستیک (LARS-WG) را در ریزمقیاس نمایی بارش روزانه مورد بررسی قرار دادند. نتایج حاکی از عملکرد بهتر مدل Goudarzi et al. (2014) در شبیه‌سازی بارش‌های حدی بود. www.SID.ir

پارامترهای هواشناسی تولید شوند. برای تولید داده‌های آب و هوای مصنوعی مدل تحت سناریوی تغییر اقلیم A2 اجرا شد. در مورد مدل SDSM، پس از آماده‌سازی داده‌های مشاهداتی و کنترل کیفیت آن‌ها، ریزمقیاس نمایی آماری با کاربرد داده‌های مشاهداتی روزانه (پیش‌بینی شونده)، پیش‌بینی کنندۀ‌های بزرگ‌مقیاس مشاهداتی (NCEP^۱) و نیز پیش‌بینی کنندۀ‌های بزرگ‌مقیاس حاصل از مدل‌های گردش عمومی جو (HadCM3^۲)، انجام شد. پس از انتخاب بهترین متغیرهای پیش‌بینی کنندۀ NCEP که به طور معنی‌داری از همبستگی با داده‌های مشاهداتی مرتبط با هر ایستگاه برخوردارند، واسنجی و صحت سنجی مدل انجام شد و در نهایت سناریوهای اقلیمی با استفاده از پیش‌بینی کنندۀ‌های مشاهداتی شبیه‌سازی شدند. در جدول (۱) پیش‌بینی کنندۀ‌های منتخب جهت ریزمقیاس کردن آماری دما و بارش روزانه ایستگاه کرمانشاه نشان داده شده است.

1. National Centers for Environmental Prediction
2. Hadley Centre Coupled Model Version

در این تحقیق ابتدا داده‌های مشاهداتی ایستگاه‌های سینوپتیک کرمانشاه و روانسر جمع‌آوری شده و کنترل کیفی روی آنها صورت گرفت. سپس مدل ریزمقیاس نمایی آماری LARS-WG و SDSM 5.1 در دو ایستگاه سینوپتیک کرمانشاه و روانسر در دوره پایه و دوره آینده تحت تأثیر تغییر اقلیم مورد استفاده قرار گرفت. برای مدل LARS-WG با توجه به آمار موجود دوره ۱۹۶۱-۲۰۰۱ به عنوان دوره پایه انتخاب شد، پارامترهای اقلیمی موردنیاز جهت اجرای مدل LARS-WG جمع‌آوری و مورد پردازش قرار گرفت. در مرحله واسنجی، مدل داده‌های دیده‌بانی شده دوره ۱۹۸۸-۱۹۶۱ را دریافت نموده که با بررسی آنها مشخصه‌های آماری داده‌ها استخراج می‌شوند، سپس به منظور بررسی صحت سنجی و اطمینان از توانمندی مدل، مدل مناسب با داده‌های منطقه مطالعاتی بدون در نظر گرفتن سناریوهای انتشار اجرا شد. بدین صورت که در رویه weather generator (قسمت تولید داده) در مدل LARS-WG یک سناریوی حالت پایه در دوره ۱۹۸۹-۲۰۰۱ تدوین و مدل برای این دوره اجرا گردید. بعد از کالیبره کردن و ارزیابی مدل، باید

جدول ۱. پیش‌بینی کنندۀ‌های منتخب جهت ریزمقیاس کردن آماری دما و بارش روزانه ایستگاه کرمانشاه

| متغیر | پیش‌بینی کنندۀ‌های منتخب | پیش‌بینی کنندۀ‌های منتخب | P-value | همبستگی جزئی |
|--------|--------------------------------------|---|---------|--------------|
| بارش | Mean Sea Level Pressure | میانگین فشار سطح دریا | . | .۱۳۸ |
| دما | 500hpa Geopotential | ژئوپتانسیل در ارتفاع معادل ۵۰۰ هکتوپاسکال | . | .۱۹ |
| حداکثر | Relative humidity in 500 hpa surface | رطوبت نسبی در سطح ۵۰۰ هکتوپاسکال | . | .۳۱ |
| دما | Mean Sea Level Pressure | میانگین فشار سطح دریا | . | .۳۳ |
| حداکثر | 500hpa Geopotential | ژئوپتانسیل در ارتفاع معادل ۵۰۰ هکتوپاسکال | . | .۵۴۳ |
| دما | Relative humidity in 500 hpa surface | رطوبت نسبی در سطح ۵۰۰ هکتو پاسکال | . | .۴۴۷ |
| دما | Mean Temperature at 2m | میانگین دما در ارتفاع ۲ متری | . | .۶۸ |
| دما | Mean Sea Level Pressure | میانگین فشار سطح دریا | . | .۴۲ |
| حداکثر | 500hpa Geopotential | ژئوپتانسیل در ارتفاع معادل ۵۰۰ هکتوپاسکال | . | .۵۵ |
| حداکثر | Mean Temperature at 2m | میانگین دما در ارتفاع ۲ متری | . | .۶۵ |
| | 850hpa Geopotential | ژئوپتانسیل در ارتفاع معادل ۸۵۰ هکتوپاسکال | . | .۴۳ |

در این تحقیق، دوره زمانی ۱۹۸۹-۲۰۰۱ ایجاد شدند. برای مدل SDSM، از نتایج شبیه‌سازی شده بر اساس پیش‌بینی کنندۀ‌های NCEP و SDSM با سناریو A2 استفاده شد که به ترتیب HadCM3 و LARS-WG نامیده شدند. برای مدل SDSM_A2 اعتبارسنجی بر اساس خصوصیات آماری یکسان با داده‌های مشاهداتی در طول دوره واسنجی (بدون در نظر گرفتن سناریو) اجرا شد و LARS-WG نامیده شد. جهت بررسی عملکرد

در این تحقیق، دوره زمانی ۱۹۶۱-۲۰۰۱ به عنوان دوره پایه در نظر گرفته شد. برای اساس، واسنجی مدل، طی دوره ۱۹۸۸-۱۹۶۱ مبتنی بر داده‌های ریزمقیاس شده حاصل از پیش‌بینی کنندۀ‌های مشاهداتی (NCEP) و صحت سنجی مدل، طی دوره ۱۹۸۹-۲۰۰۱ مبتنی بر داده‌های ریزمقیاس شده از SDSM و NCEP با سناریو A2 صورت گرفت. برای ارزیابی مدل LARS-WG و SDSM، سه سری داده برای دوره www.SID.ir

شده توسط مدل SDSM (با استفاده از متغیرهای NCEP) و LARS-WG را در طول دوره واسنجی نشان می‌دهد. چنانچه نتایج نشان می‌دهد در مرحله واسنجی مدل SDSM در هر دو ایستگاه روانسر و کرمانشاه به ترتیب با مقادیر $R = 0.91$ و 0.95 دارای عملکرد بهتری نسبت به LARS-WG. در شبیه‌سازی دمای حداکثر و به ترتیب با مقادیر 0.89 و 0.93 دارای عملکرد بهتری در شبیه‌سازی دمای حداقل می‌باشد. در حالی که مدل LARS-WG در دو ایستگاه روانسر و کرمانشاه به ترتیب با مقادیر $R = 0.84$ و 0.92 در شبیه‌سازی بارش دارای عملکرد بهتری نسبت به مدل SDSM می‌باشد.

شکل‌های (۲ و ۳) واسنجی مدل‌های SDSM و LARS-WG را در دو ایستگاه کرمانشاه و روانسر برای پارامترهای بارش و دمای حداقل و دمای حداکثر نشان می‌دهد.

جدول (۳) ضریب همبستگی و ریشه میانگین مربعات خطای داده‌های بارش و دما حداقل و حداکثر ماهانه ریزمقیاس شده توسط مدل SDSM (با استفاده از متغیرهای NCEP و خروجی مدل HADCM3 تحت سناریو A2) و LARS-WG در طول دوره صحت سنجی را نشان می‌دهد. چنانچه نتایج نشان می‌دهد در مرحله صحت سنجی نیز در هر دو ایستگاه کرمانشاه و روانسر، مدل SDSM-A2 و SDSM در شبیه‌سازی دمای حداکثر و دمای حداقل، بر اساس ضریب R دارای عملکرد بهتری نسبت به مدل LARS-WG می‌باشند. در حالی که مدل SDSM-A2 و SDSM در شبیه‌سازی بارش دارای عملکرد ضعیفی بوده و مدل LARS-WG در شبیه‌سازی بارش دارای عملکرد بهتری نسبت به مدل SDSM و SDSM-A2 می‌باشد. جزییات نتایج صحت سنجی مدل‌های SDSM و LARS-WG در اشکال ۴ و ۵ و جدول ۳ نشان داده شده است. جدول ذکرشده از شکل‌های (۴ و ۵) اقتباس شده است.

مدل‌ها و مقایسه آنها از دو روش ترسیمی و معیارهای آماری مرسوم RMSE و R استفاده گردید. این معیارها بر اساس روابط (۱ و ۲) محاسبه می‌شوند.

$$RMSE = \left[\frac{1}{n} \sum_{i=1}^n (s_i - o_i)^2 \right]^{1/2} \quad (رابطه ۱)$$

$$R = \frac{\sum_{i=1}^n (o_i - \bar{o})(s_i - \bar{s})}{\sqrt{\sum_{i=1}^n (o_i - \bar{o})^2 \sum_{i=1}^n (s_i - \bar{s})^2}} \quad (رابطه ۲)$$

که در آن o_i داده‌های مشاهداتی، s_i داده‌های برآورد شده، \bar{o} و \bar{s} میانگین داده‌های مشاهداتی و برآورد شده می‌باشد. هرچه مقدار RMSE به صفر نزدیک‌تر باشد نشان‌دهنده عملکرد بهتر مدل است. R بیانگر ضریب همبستگی بین داده‌های مشاهداتی و محاسباتی می‌باشد و حدود تغییرات آن بین -1 تا $+1$ است.

درصد باقیمانده خطای بارش روزانه (*residual of rainfall*) و باقیمانده خطای بارش برای دمای حداقل و دمای حداکثر (*rainfall residual of temperature*) به صورت زیر بیان می‌شوند:

$$\% \text{ residual of rainfall} = \frac{\text{simulated} - \text{observed}}{\text{observed}} \times 100$$

Simulated data - residual of temperature = Observed data

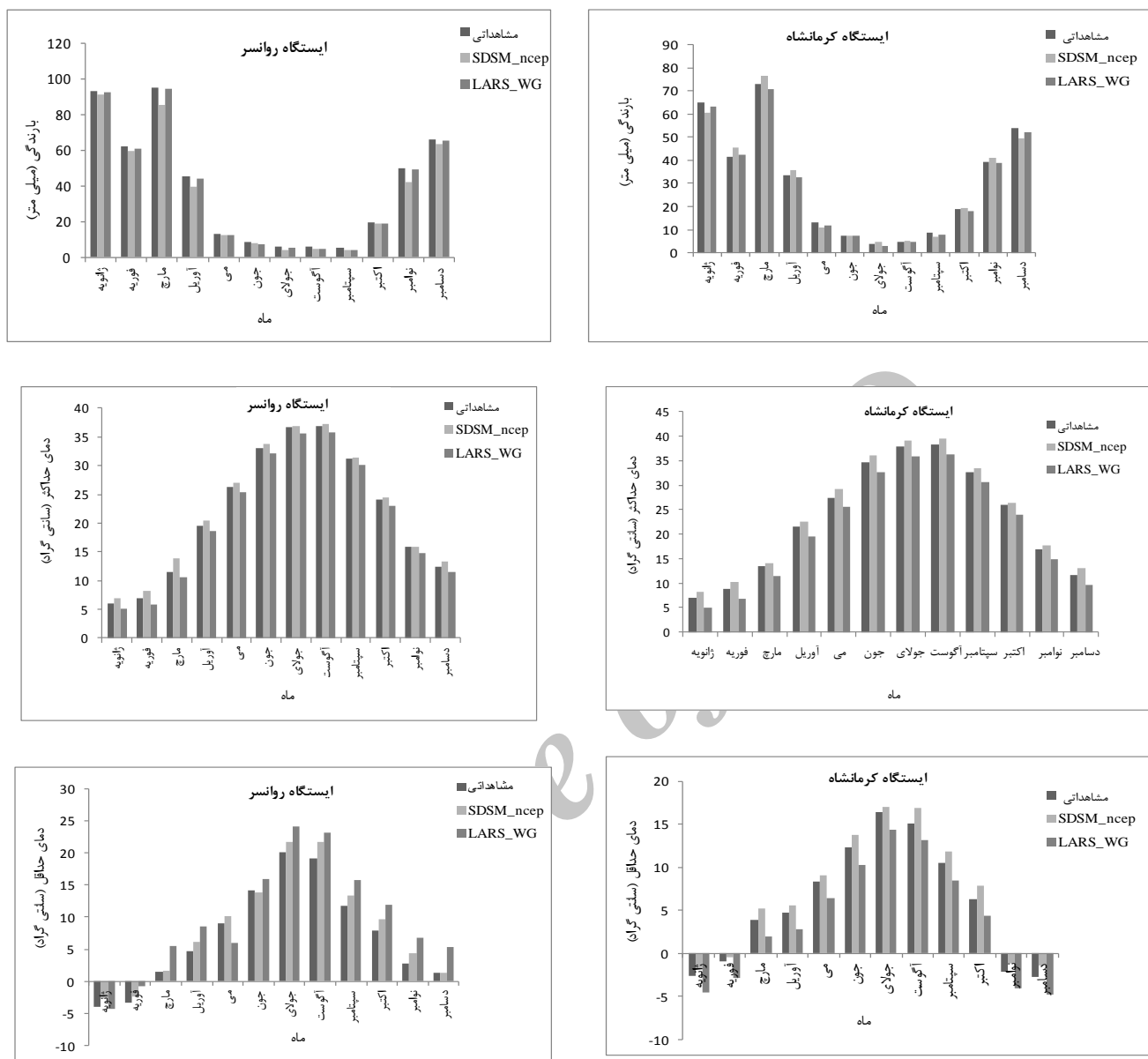
که در آن *Observed* مقادیر مشاهداتی و *Simulated* مقادیر شبیه‌سازی شده می‌باشند.

نتایج و بحث

جدول (۲) ریشه میانگین مربعات خطای و ضریب همبستگی برای داده‌های بارش و دمای حداقل و حداکثر ماهانه ریزمقیاس

جدول ۲. عملکرد مدل‌ها در طول دوره واسنجی

| ایستگاه کرمانشاه | | ایستگاه روانسر | | مدل ریزمقیاس نمایی | متغیر اقلیمی |
|------------------|------|----------------|------|--------------------|---------------------------------|
| RMSE | R | RMSE | R | | |
| ۳/۸ | ۰/۸۲ | ۵/۶ | ۰/۷۶ | SDSM | بارش ماهانه (میلی‌متر) |
| ۲/۳ | ۰/۹۲ | ۳/۵۲ | ۰/۸۴ | LARS-WG | |
| ۱/۵۲ | ۰/۹۵ | ۱/۳۴ | ۰/۹۱ | SDSM | دمای حداکثر ماهانه (سانتی گراد) |
| ۷/۸ | ۰/۶۷ | ۹/۱۲ | ۰/۶۱ | LARS-WG | |
| ۲/۵ | ۰/۹۳ | ۲/۶۵ | ۰/۸۹ | SDSM | دمای حداقل ماهانه (سانتی گراد) |
| ۶/۸ | ۰/۷۸ | ۷/۴۳ | ۰/۷۲ | LARS-WG | |

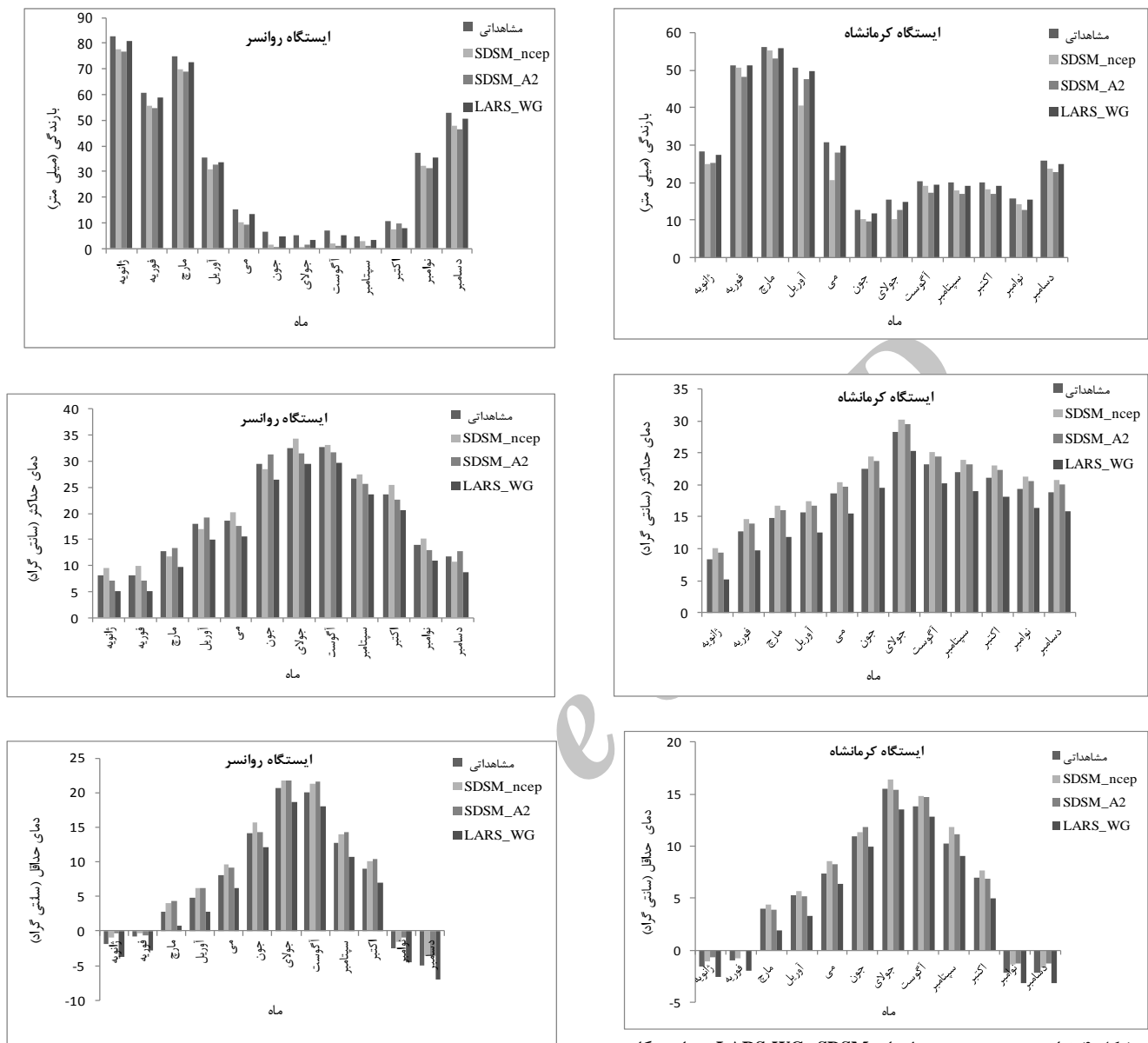


شکل ۳. نتایج و اسننجی مدل‌های SDSM و LARS-WG در ایستگاه روانسر

شکل ۲. نتایج و اسننجی مدل‌های SDSM و LARS-WG در ایستگاه کرمانشاه

جدول ۳. عملکرد مدل در طول دوره صحبت سنجی

| ایستگاه کرمانشاه | | ایستگاه روانسر | | مدل ریزمقیاس نمایی | متغیر اقلیمی |
|------------------|------|----------------|------|--------------------|-------------------------|
| RMSE | R | RMSE | R | | |
| ۹/۳۱ | ۰/۷۴ | ۱۳/۴ | ۰/۶۱ | SDSM | |
| ۷/۷۶ | ۰/۸۱ | ۱۰/۵۶ | ۰/۷۴ | SDSM_A2 | بارش ماهانه (میلی‌متر) |
| ۰/۳۶ | ۰/۹۷ | ۱/۴۳ | ۰/۹۲ | LARS-WG | |
| ۰/۸۵ | ۰/۹۴ | ۱/۹۸ | ۰/۹ | SDSM | |
| ۱/۲۳ | ۰/۸۹ | ۳/۲۱ | ۰/۸۹ | SDSM_A2 | دمای حداقل (سانتی گراد) |
| ۹/۲۷ | ۰/۶۷ | ۸/۷۹ | ۰/۶۸ | LARS-WG | |
| ۱/۳۸ | ۰/۹ | ۱/۴۳ | ۰/۹۱ | SDSM | |
| ۱/۸۷ | ۰/۸۵ | ۲/۶۹ | ۰/۸۸ | SDSM_A2 | دمای حداقل (سانتی گراد) |
| ۸/۷۶ | ۰/۷۹ | ۱۰/۳۸ | ۰/۶۹ | LARS-WG | |



شکل ۵. نتایج صحت سنجی مدل‌های SDSM و LARS-WG در ایستگاه روانسر

می‌باشد. در دوره صحت سنجی، در ایستگاه کرمانشاه نتایج حاکی از این است که مدل‌های ریزمقیاس نمایی SDSM A2 و SDSM A2 تطابق رضایت بخشی را بین دمای حداقل و دمای حداقل مشاهداتی و شبیه‌سازی شده در اکثر ماههای سال نشان می‌دهند. بیشترین میزان باقیمانده خطا در مورد دمای حداقل و LARS-WG و SDSM A2 می‌باشد. در مورد دمای حداقل، SDSM A2 و SDSM A2 پیش‌بینی می‌شود، به ترتیب $3/86$ و $2/4$ درجه سانتی‌گراد بوده که مربوط به مدل LARS-WG می‌باشد. مشاهداتی می‌شود که مدل SDSM و SDSM A2 در مقایسه با مدل LARS-WG در پایین‌ترین میزان خطای می‌باشد.

مقادیر درصد باقیمانده خطا برای بارش (*residual of rainfall*) و باقیمانده خطا برای دماهای حداقل و حداقل و LARS-WG (*residual of temperature*) برای دو مدل SDSM و SDSM در ایستگاه کرمانشاه برای دوره واسنجی در جدول (۴) و برای دوره صحت سنجی در جدول (۵) آورده شده است. چنانچه نتایج نشان می‌دهد در دوره واسنجی در ایستگاه کرمانشاه، مدل LARS-WG با پایین‌ترین میزان باقیمانده خطا در مورد دمای حداقل و نیز در تمامی ماهها میزان خطای کمتری را در ماه جون (ژوئن) دارد. در مورد دمای حداقل، مدل SDSM درصد در مورد بارش نسبت به مدل SDSM در مورد دمای حداقل و دمای حداقل و دمای حداقل، مدل SDSM به ترتیب با میزان خطای LARS-WG دارای خطای کمتری نسبت به مدل LARS-WG.

جولای می‌باشد. مشاهده می‌شود که LARS-WG پایین‌ترین میزان خطا را در برآورد بارش با درصد باقیمانده خطای بین ۰/۱۷-۷/۷۶ درصد در مقایسه با مدل‌های دیگر را دارد.

خطای مطلق بین ۰/۱۸-۱/۹۳ درجه سانتی گراد در تمامی ماهها دارند. در مورد بارش، بیشترین درصد باقیمانده خطا توسط مدل SDSM پیش‌بینی می‌شود که به میزان ۳۴/۵ درصد در ماه

جدول ۴. اختلاف بین مقادیر بارش و دمای مشاهداتی و شبیه‌سازی شده در دوره واسنجی در ایستگاه کرمانشاه

| ماه | بارش (درصد) | | | | | | |
|---------|-------------|---------|-----------|-------------------------|-------------------------|-----------|---------|
| | SDSM_ncep | LARS_WG | SDSM_ncep | دما حداکثر (سانتی گراد) | دما حداکثر (سانتی گراد) | SDSM_ncep | LARS_WG |
| ژانویه | -۰/۶۴ | -۱/۴۴ | -۱/۲۱ | -۲/۰۱ | ۷/۲ | ۳/۰۶ | |
| فوریه | -۰/۳۱ | -۱/۲۵ | -۱/۳۴ | -۲/۱۴ | -۹/۵۶ | -۲/۴ | |
| مارس | -۱/۲ | ۲/۰۱۳ | -۰/۶ | -۱/۴ | ۴/۸۸ | ۲/۷۴ | |
| آوریل | ۰/۸۳ | -۱/۶۳ | ۰/۹۶ | ۱/۷۶ | ۷/۲۹ | ۲/۹۸ | |
| مای | ۰/۶۴ | ۱/۴۴ | ۱/۶۷ | ۲/۴۷ | -۱۵/۴۴ | -۷/۷۳ | |
| جون | -۱/۴۶ | -۳/۲۶ | ۱/۴ | ۱/۸ | -۰/۱۳ | -۰/۰۱۴ | |
| جولای | ۰/۶۷ | ۱/۵۶ | -۱/۳ | -۲/۰۹ | ۲۵/۱۲ | ۱۲/۹۲ | |
| آگوست | ۱/۷۸ | ۲/۵۸ | -۱/۲۲ | -۲/۲۷ | ۶/۵۶ | ۰/۴۱ | |
| سپتامبر | ۱/۲۷ | ۳/۰۷ | -۱/۸ | -۱/۵۹ | ۱۷/۳۷ | ۱۱/۶۵ | |
| اکتبر | ۱/۵۴ | ۲/۳۴ | ۰/۵۳ | ۱/۳۳ | ۳/۰۹ | ۳/۷۱ | |
| نومبر | -۰/۹۵ | ۱/۷۵ | -۰/۹ | -۱/۷ | ۳/۶۳ | ۱/۵۲ | |
| دسامبر | -۱/۳۴ | -۲/۱۴ | ۱/۲۹ | ۲/۳۹ | ۸/۴۷ | ۳/۶ | |

جدول ۵. اختلاف بین مقادیر بارش و دمای مشاهداتی و شبیه‌سازی شده در دوره صحت سنجی در ایستگاه کرمانشاه

| ماه | بارش (درصد) | | | | | | | | |
|---------|-------------|---------|---------|-----------|---------|---------|-----------|---------|---------|
| | SDSM_ncep | SDSM_A2 | LARS_WG | SDSM_ncep | SDSM_A2 | LARS_WG | SDSM_ncep | SDSM_A2 | LARS_WG |
| ژانویه | -۰/۴۹ | -۰/۶۷ | -۱/۳ | -۰/۷۶ | -۰/۸۸ | -۱/۸۷ | ۱۱/۵۵ | ۱۰/۶ | ۳/۱۸ |
| فوریه | -۰/۱۸ | -۰/۴۸ | -۱/۴۶ | -۰/۵۱ | -۰/۶۴ | -۱/۶۲ | ۱/۵۴ | ۵/۸۴ | ۰/۱۹ |
| مارس | -۰/۴۱ | -۰/۷ | -۱/۶۸ | -۰/۷۴ | -۰/۹۶ | -۲/۳۵ | ۱/۶۱ | ۵/۳۵ | ۰/۱۷ |
| آوریل | ۰/۳۴ | ۰/۵۶ | ۰/۸۷ | ۰/۸۱ | ۰/۷۴ | ۱/۹۲ | ۲۰/۲۲ | ۱۶/۱ | ۱/۷۷ |
| مای | -۰/۳۲ | -۰/۸۵ | -۱/۵۴ | -۰/۶۸ | -۱/۸۲ | -۲/۷۹ | ۲۲/۸۵ | ۱۹/۷ | ۵/۹۱ |
| جون | -۰/۲۹ | -۰/۶۹ | -۱/۶۷ | ۰/۵۴ | ۰/۸۶ | ۱/۸۵ | ۱۹/۰۱ | ۲۳/۷ | ۷/۱۱ |
| جولای | ۰/۶۷ | ۱/۱۷ | ۲/۱۵ | ۰/۹۴ | ۱/۸۲ | ۲/۹ | ۳۴/۵۴ | ۱۹/۱۷ | ۵/۷۵ |
| آگوست | -۰/۹۸ | -۱/۴۱ | -۲/۰۷ | ۱/۱۵ | ۱/۹۳ | ۳/۸۶ | ۳۳/۶ | ۱۴/۶۶ | ۴/۴ |
| سپتامبر | ۰/۷۸ | ۱/۱۳ | ۱/۸۷ | ۱/۳۲ | ۱/۵۳ | ۲/۵۱ | ۱۰/۰۲ | ۱۵/۰۱ | ۷/۷۶ |
| اکتبر | -۰/۶ | -۰/۸۸ | ۱/۹۸- | -۰/۸۵ | -۰/۹۸ | -۱/۹۶ | ۹/۵۱ | ۱۴/۹۸ | ۴/۵ |
| نومبر | -۰/۷۳ | -۱/۰۳ | -۲/۴ | -۱/۴۲ | -۱/۶۵ | -۲/۶۳ | ۸/۶۷ | ۱۹/۱۱ | ۰/۶۳ |
| دسامبر | ۰/۴۷ | ۰/۷۳ | ۱/۷۹ | ۰/۶۱ | -۱/۷۴ | -۲/۷۲ | ۸/۸۳ | ۱۱/۵ | ۳/۴۷ |

ماه دسامبر) و در تمامی ماهها، دارای خطای کمتری نسبت به مدل LARS-WG می‌باشد. در دوره صحت سنجی نیز، نتایج حاکی از آن است که مدل‌های ریزمقیاس نمایی SDSM A2، تطابق رضایت‌بخشی را بین دمای حداکثر و دمای حداکثر مشاهداتی و شبیه‌سازی برای تمامی ماههای سال نشان می‌دهند. بیشترین میزان باقیمانده خطای در مورد دمای حداکثر و دمای حداکثر که توسط مدل‌های SDSM A2، SDSM A2 و LARS-

همین نتایج برای ایستگاه روانسر در جدول‌های (۶ و ۷) آورده شده است. نتایج حاکی از آن است که در ایستگاه روانسر در دوره واسنجی، مدل LARS-WG با پایین‌ترین میزان درصد باقیمانده خطای ۱/۶ درصد (درصد) در ماه ژانویه و در تمامی ماهها میزان خطای کمتری را در برآورد بارش نسبت به مدل SDSM داراست. در مورد دمای حداکثر و دمای حداکثر، مدل SDSM به ترتیب با پایین‌ترین میزان باقیمانده خطای ۰/۰۸ (در ماه نوامبر) و ۱۶/۰ (در

مدل‌های SDSM و LARS-WG و SDSM A2 پیش‌بینی می‌شود ۳۸/۷۶ و ۴۹/۱۹ درصد در ماه آگوست است که به ترتیب مربوط به مدل SDSM-A2 و SDSM-ncep می‌باشد. مشاهده می‌شود که مدل LARS-WG پایین‌ترین میزان خطای مطلق بارش با درصد باقیمانده خطای بین ۳۰/۳-۲/۴ درصد در مقایسه با مدل‌های دیگر دارد.

WG پیش‌بینی می‌شود، به ترتیب ۴/۳ و ۳/۱۱ سانتی‌گراد بوده که مربوط به مدل LARS-WG می‌باشد. مشاهده می‌شود که SDSM A2 SDSM و SDSM A2 پایین‌ترین میزان خطای مطلق بین ۲/۱۴-۰/۰۷ درجه سانتی‌گراد در مقایسه با مدل LARS-WG دارند.

در مورد بارش، بیشترین درصد باقیمانده خطای توسط

جدول ۶. اختلاف بین مقادیر بارش و دمای مشاهداتی و شبیه‌سازی شده در دوره واسنجی در ایستگاه روانسر

| دماه حداکثر (سانتی گراد) | | دماه حداقل (سانتی گراد) | | بارش (درصد) | | ماه |
|--------------------------|---------|-------------------------|---------|-------------|---------|---------|
| SDSM_ncep | LARS_WG | SDSM_ncep | LARS_WG | SDSM_ncep | LARS_WG | |
| ۰/۱۲ | ۰/۸۱ | ۱/۲ | ۳/۳ | ۲/۷۳ | ۱/۶۱ | ژانویه |
| ۰/۴۱ | ۱/۳۱ | -۰/۸۷ | -۲/۹۴ | ۵/۵۷ | ۳/۰۴ | فوریه |
| -۱/۲۲ | -۲/۳۹ | -۲/۴۳ | -۳/۱ | ۱۲/۶ | ۹/۸۷ | مارس |
| ۰/۱۹ | ۰/۸۹ | -۰/۲۷ | -۱/۶۷ | ۱۴/۸ | ۱۰/۲۹ | آوریل |
| ۰/۲۴ | ۰/۶۷ | ۰/۴۵ | ۰/۸۹ | ۶/۳۸ | ۴/۶۷ | می |
| -۰/۱۴ | -۰/۷ | -۰/۸۷ | -۱/۶ | ۴/۲۲ | ۳/۸۳ | جون |
| ۰/۰۹۸ | ۰/۳۱ | ۱/۵ | ۳/۶ | ۳۱/۵۶ | ۲۷/۴۳ | جولای |
| ۰/۲۱ | ۰/۴۲ | ۲/۳۶ | ۴/۵۹ | ۲۲/۵۱ | ۱۸/۲۷ | آگوست |
| ۰/۱۸ | ۰/۲۳ | -۰/۶۵ | -۲/۷۵ | ۱۹/۲۵ | ۱۷/۱۱ | سپتامبر |
| ۰/۱۱ | ۰/۴ | -۱/۸۷ | -۳/۴۵ | ۵/۲۷ | ۳/۷۶ | اکتبر |
| ۰/۰۸ | ۰/۱۲ | -۱/۴ | -۲/۵ | ۱۵/۵ | ۱۲/۳ | نومبر |
| ۰/۲ | ۰/۹۳ | -۰/۱۶ | -۲/۰۸ | ۴/۳۷ | ۲/۴۸ | دسامبر |

جدول ۷. اختلاف بین مقادیر بارش و دمای مشاهداتی و شبیه‌سازی شده در دوره اعتبارسنجی در ایستگاه روانسر

| دماه حداکثر (سانتی گراد) | | دماه حداقل (سانتی گراد) | | بارش (درصد) | | ماه |
|--------------------------|---------|-------------------------|-----------|-------------|---------|---------|
| SDSM_ncep | SDSM_A2 | LARS_WG | SDSM_ncep | SDSM_A2 | LARS_WG | |
| ۰/۷۹ | ۱/۴۳ | -۱/۹۷ | ۱/۴۳ | ۱/۲ | ۲/۸ | ژانویه |
| -۰/۵۳ | -۰/۲۲ | ۱/۱۳ | -۱/۷ | -۱/۵۱ | ۴/۳ | فوریه |
| ۱/۱۶ | ۲/۰۵ | ۳/۱۱ | ۱/۲ | -۰/۷ | ۲/۰۱ | مارس |
| -۱/۳۶ | -۱/۹ | -۲/۶۵ | -۱/۴ | -۱/۱۹ | ۳/۰۸ | آوریل |
| -۱/۰۲ | -۰/۸۷ | ۱/۹۱ | -۱/۵۴ | -۱/۴۳ | ۱/۹ | می |
| ۱/۱۴ | ۰/۱۵ | ۱/۸۳ | ۰/۷ | ۱/۶۵ | ۲/۴۲ | جون |
| -۱/۳۸ | -۰/۶ | -۱/۵۲ | ۱/۸ | ۱/۲۲ | ۴/۱۱ | جولای |
| -۱/۱۷ | -۱/۸ | -۲/۰۲ | -۰/۴۳ | ۱/۴۱ | ۲/۲۸ | آگوست |
| ۰/۷ | ۱/۳ | ۱/۶۵ | ۰/۹۲ | ۲/۱۴ | ۷/۲ | سپتامبر |
| -۱/۲۲ | -۱/۱۸ | -۱/۴۵ | ۰/۷۸ | ۰/۸۶ | ۱/۷۲ | اکتبر |
| -۰/۰۷ | -۱/۹ | ۱/۴۳ | -۰/۱۶ | ۲/۰۳ | ۳/۴۱ | نومبر |
| -۱/۳۶ | -۱/۷ | ۲/۸۱ | ۱/۵۶ | ۱/۰۶۸ | ۲/۵۳ | دسامبر |

سالانه در هر دو ایستگاه کرمانشاه و روانسر نسبت به دوره پایه تحت سناریو A2 در دهه ۲۰۲۰ و ۲۰۵۰ کاهش می‌یابد. میزان LARS-WG_A2 کاهش بارش شبیه‌سازی شده توسط مدل SDSM A2 است که در آن درصد تعییرات در ایستگاه کرمانشاه ۱۶/۸-۷/۵ و در ایستگاه

جدول (۸) درصد تغییرات در میانگین بارش سالانه، دمای حداکثر و دمای حداقل سالانه را در دهه ۲۰۲۰ و ۲۰۵۰ با توجه به دوره پایه (۱۹۶۱-۲۰۰۱) تحت مدل HadCM3 با سناریو A2 که از مدل SDSM و LARS-WG به دست امده است، نشان می‌دهد. برای مدل SDSM نشان داده شده که متوسط بارش

LARS-WG حداکثر سالانه شبیه‌سازی شده توسط هر دو مدل A2 و A2 SDSM افزایش می‌یابد. افزایش دمای SDSM A2 LARS-WG A2 بیشتر از ۰۵٪ است. چنانچه مشاهده می‌شود میزان افزایش دما در هر دو مدل در دهه ۲۰۵۰ نسبت به ۲۰۲۰ بیشتر بوده است.

روانسر ۱۱/۹-۳/۷ می‌باشد. چنانچه نشان داده شده است میزان کاهش بارش در دهه ۲۰۵۰ در هر دو مدل بیشتر بوده است. جدول ۵ تغییرات در دمای حداقل و دمای حداکثر را در دهه ۲۰۲۰ و ۲۰۵۰ تحت مدل HadCM3 سناریو A2 برای هر دو مدل نسبت به دوره پایه (۱۹۶۱-۲۰۰۰) نشان می‌دهد. مشاهده می‌شود که در هر دو ایستگاه دمای حداقل و دمای

جدول ۸. درصد تغییرات در میانگین بارش سالانه، دمای حداقل و دمای حداکثر سالانه در دهه ۲۰۲۰ و ۲۰۵۰

| ایستگاه | متغیر اقلیمی | مدل ریزمقیاس نمایی | ۲۰۲۰هـ | ۲۰۵۰هـ |
|-------------------------|--------------|--------------------|--------|--------|
| درصد بارش سالانه | SDSM_A2 | -۱۴/۶ | -۲۰/۸ | -۱۶/۸ |
| ایستگاه کرمانشاه | LARS_WG | -۷/۵ | ۰/۷ | ۱/۵ |
| دمای حداقل (سانتی گراد) | SDSM_A2 | ۱/۸ | ۰/۷ | ۲/۱۸ |
| کرمانشاه | LARS_WG | ۰/۸۵ | ۰/۸۵ | ۱/۶۷ |
| دمای حداقل (سانتی گراد) | SDSM_A2 | ۱/۳ | ۱/۳ | ۳/۷ |
| ایستگاه روانسر | LARS_WG | -۱۷/۸ | -۳۲/۶۵ | -۱۱/۹ |
| دمای حداقل (سانتی گراد) | SDSM_A2 | ۱/۰۱ | ۱/۰۱ | ۱/۷۲ |
| روانسر | LARS_WG | ۱/۶۹ | ۱/۶۹ | ۳/۲۱ |
| دمای حداقل (سانتی گراد) | SDSM_A2 | ۰/۷۴ | ۰/۷۴ | ۱/۳۲ |
| ایستگاه ایستگاه | LARS_WG | ۲/۷ | ۲/۷ | ۶/۴ |

که آنها از روش فاصله اطمینان جهت بررسی عملکرد خروجی‌های دو مدل استفاده کردند. خروجی‌های مدل SDSM، تغییرات بیشتری را در بارش در مقایسه با خروجی‌های LARS-WG نشان می‌دهند. خروجی‌های LARS-WG نیز تغییرات بیشتری را در دمای حداقل و دمای حداکثر در مقایسه با SDSM نشان می‌دهد که با نتایج Zulkarnain *et al* (2014) مطابقت دارد با این تفاوت که این تحقیق در شرایط اقلیمی حاره‌ای در مالزی انجام شده است. با وجود این هر دو مدل قادرند تا سری‌های زمانی اقلیم حاضر را در منطقه مورد مطالعه که از لحاظ اقلیمی گرم و نیمه‌خشک می‌باشد، برای بیشتر ماههای سال به خوبی برآورده کنند (Hashmi *et al*, 2011). از نتایج ریزمقیاس نمایی، چنین نتیجه‌گیری می‌شود که در آینده ایستگاه کرمانشاه و روانسر با میزان بارش کمتری مواجه می‌شود. همچنین در هر دو مدل دمای حداقل و دمای حداکثر در دو دهه آتی تحت سناریو A2 افزایش می‌یابد.

REFERENCES

- Aghashahi, M. (2012) Comparison between LARS-WG and SDSM in order to downscaling environmental parameters in climate change studies. *The sixth National Conference of Environmental Engineering*. Tehran University. Environment Faculty.

بحث و نتیجه‌گیری
مدل‌های گردش عمومی جو، به دلیل بزرگ‌مقیاس بودن شبکه محاسباتی آنها قادر به پیش‌بینی پارامترهای آب و هواشناختی در مقیاس منطقه‌ای نیستند، بنابراین بایستی با استفاده از روش‌های مختلف ریزمقیاس کرد. از بین روش‌های ریزمقیاس نمایی، روش‌های آماری به دلیل عملکرد سریع و آسان مورد استفاده قرار می‌گیرند. از جمله مدل‌های ریزمقیاس نمایی آماری مدل‌های SDSM و LARS-WG می‌باشند. از نتایج این مطالعه یافت می‌شود که بر اساس معیارهای خطای ریشه میانگین مربعات خطأ و ضریب همبستگی، مدل SDSM در ریزمقیاس نمایی دمای حداقل و دمای حداکثر در طول دوره‌های واسنجی و صحت سنجی بهتر از LARS-WG عمل می‌کند. در مورد بارش، مدل LARS-WG در طول دوره‌های واسنجی و صحت سنجی نسبت به مدل SDSM بهتر عمل کرده و دارای خطای کمتری است که با نتایج Zamani Nuri *et al* (2014) مطابقت دارد با این تفاوت

- Alireza Zamani Nuri, Mohammadreza Farzaneh, Kiamars Espanayi. 2014. Assessment of climatic parameters uncertainty under effect of different downscaling techniques. *International Research Journal of Applied and Basic Sciences*. 8(9), 838-225v. SID.ir

- Alizadeh, H and Zahraei, B. (2014). Comparison of statistical downscaling models in simulation of the daily rainfall, *The Sixteenth Conference of Iran Geophysics*, Pages 128-132.
- Andersen, H. E., Kronvang, B., Larsen, S. E., Hoffmann, C. C., Jensen, T. S and Rasmussen, E. K. (2006). Climate-change impacts on hydrology and nutrients in a Danish lowland river basin. *Science of the Total Environment*, 365(1), 223-237.
- Chen, H., Xu, C. Y and Guo, S. (2012). Comparison and evaluation of multiple GCMs, statistical downscaling and hydrological models in the study of climate change impacts on runoff. *Journal of hydrology*, 434, 36-45.
- Farzaneh M, Samadi, S. Z., Akbarpour, A and Eslamian S. S. (2010). Introduction of selected predictors for statistical downscaling in Behesht-Abad subbasin of northern Karoon. *The first conference of practical researches of water resources of Iran, Kermanshah*, Industrial Kermanshah University.
- Goudarzi, M., Salahi, B and Hosseini, S. A. (2015). Performance Assessment of LARS-WG and SDSM Downscaling Models In Simulation of Climate Changes in Urmia Lake Basin. *Iran-Watershed Management Science & Engineering*, 9(31).
- Harpham, C and Wilby, R. L. (2005). Multi-site downscaling of heavy daily precipitation occurrence and amounts. *Journal of Hydrology*, 312(1), 235-255.
- Hashmi, M. Z., Shamseldin, A. Y and Melville, B. W. (2011). Comparison of SDSM and LARS-WG for simulation and downscaling of extreme precipitation events in a watershed. *Stochastic Environmental Research and Risk Assessment*, 25(4), 475-484.
- IPCC, (2014), Summary for policymakers. In: Climate Change. 2014: Impacts, Adaptation, and Vulnerability. Part A: Global and Sectoral Aspects. Contribution of Working Group II to the Fifth Assessment Report of the Intergovernmental Panel on Climate Change Cambridge University Press, Cambridge, United Kingdom and New York, NY, USA, pp. 1-32.
- Kabiri, R., Ramani Bai, V and Chan, A. (2015). Assessment of hydrologic impacts of climate change on the runoff trend in Klang Watershed, Malaysia, *Environmental Earth Science Journal*, 73, 27-37.
- Tatsumi, K., Oizumi, T and Yamashiki, Y. (2013). Introduction of daily minimum and maximum temperature change signals in the Shikoku region using the statistical downscaling method by GCMs. *Hydrological Research Letters*, 7(3), 48-53.
- Zulkarnain H., Shamsudin, S and Sobri, H. (2014). Application of SDSM and LARS-WG for simulating and downscaling of rainfall and temperature, *Theor. Appl. Climatol.*, 116, 243-257.